

# 中性子電気双極子能率 とTeVスケールの物理

久野純治（名大理）

特定領域研究「フレーバー物理の新展開」研究会 2012

日程： 2012年7月6日(金)～8日(日)

場所： 奈良県吉野郡吉野町 芳雲館

主催： 特定領域研究「フレーバー物理の新展開」

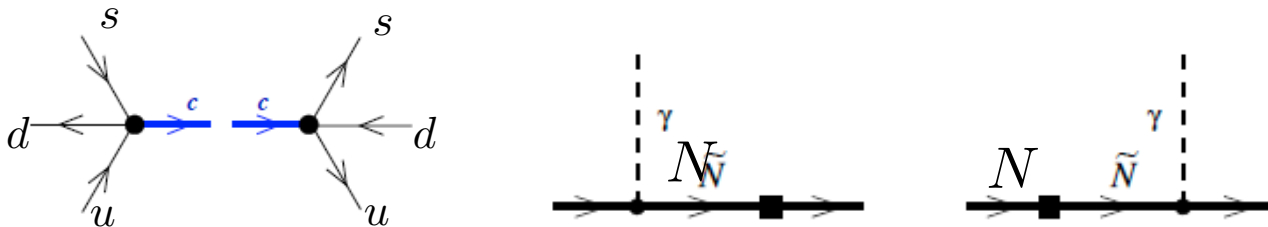
# Introduction

- 電気双極子能率(EDM)はT-odd、P-oddなので、CPT対称性の下、CP対称性に感度がある。

$$H = -\mu \mathbf{B} \cdot \frac{\mathbf{S}}{S} - d \mathbf{E} \cdot \frac{\mathbf{S}}{S}$$

- 小林・益川CP位相は中性子EDMを预言するが現在までの観測からくる上限( $|d_n| < 2.9 \times 10^{-26} \text{ ecm}$ )より小さい。

$$|d_n| \sim 10^{-31} \text{ ecm} \quad (\text{Mannel and Uraltsev (12)})$$



- TeVスケールの物理におけるCPの破れに対して感度がある。

# 中性子EDMの評価

CPを破る次元6以下の有効相互作用

$$\begin{aligned}\mathcal{L}_{\text{CPV}} = & \theta \frac{\alpha_s}{8\pi} G_{\mu\nu}^A \tilde{G}^{A\mu\nu} \\ & - \frac{i}{2} \sum_{q=u,d,s} d_q \bar{q} (F \cdot \sigma) \gamma_5 q - \frac{i}{2} \sum_{q=u,d,s} \tilde{d}_q \bar{q} g_s (G \cdot \sigma) \gamma_5 q \\ & + \frac{1}{3} w f_{ABC} G_{\mu\nu}^A \tilde{G}^{B\nu\lambda} G_{\lambda}^{C\mu}.\end{aligned}$$

1. TeVスケールの新粒子を積分することでWilson係数の導出
2. Wilson係数に対するQCD補正の評価
3. ハドロンスケールでのWilson係数から中性子EDMの評価
  - Naïve dimensional analysis
  - Chiral lagrangian
  - QCD 和則
  - Lattice QCD

# QCD和則による中性子EDMの評価

背景電磁場中での中性子カレントの2点関数

$$\Pi(q) \equiv i \int d^4x e^{iq \cdot x} \langle \Omega_{Q/P} | T \{ \eta_n(x) \bar{\eta}_n(0) \} | \Omega_{Q/P} \rangle_F$$

中性子カレント

$$\eta_n(x) = j_1(x) + \beta j_2(x)$$

$$j_1(x) = 2\epsilon_{abc} (d_a^T(x) C \gamma_5 u_b(x)) d_c(x)$$

$$j_2(x) = 2\epsilon_{abc} (d_a^T(x) C u_b(x)) \gamma_5 d_c(x)$$

中性子1粒子状態

$$\langle \Omega_{Q/P} | \eta_n(x) | N_{Q/P}(p, s) \rangle = \lambda_n e^{\frac{i}{2} \alpha_n \gamma_5} u_n(p, s) e^{-ip \cdot x}$$

# 現象論-side

背景電磁場中での中性子カレントの2点関数中の双極子項

$$\frac{P}{2(q^2 - m_n^2)^2} \equiv \frac{1}{2(q^2 - m_n^2)^2} (\not{q} + m_n) (\mu_n \not{F} \sigma - d_n \not{\tilde{F}} \sigma) (\not{q} + m_n)$$

$U(1)_A$  変換の下で不変な項によって中性子EDMを求める。

(Pospelov&Ritz)

$$\Pi^{(\text{phen})}(q) = \frac{1}{2} f(q^2) \{ \tilde{F} \cdot \sigma, \not{q} \} + \dots$$

$$f(q^2) = \left( \frac{\lambda_n^2 d_n m_n}{(q^2 - m_n^2)^2} + \frac{A(q^2)}{q^2 - m_n^2} + B(q^2) \right)$$

励起状態、連続状態の寄与

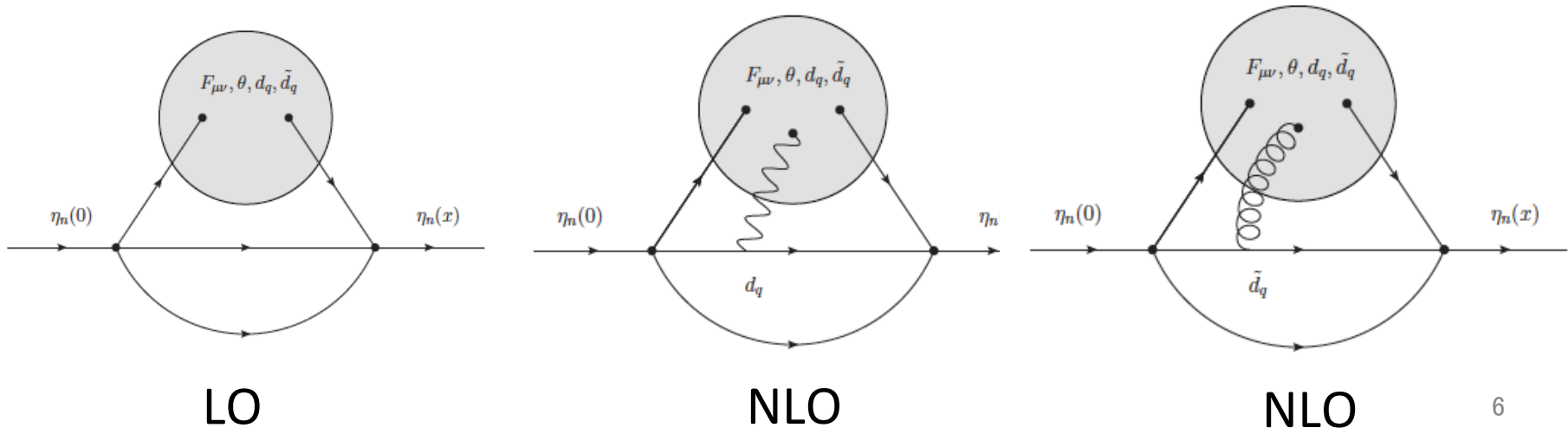
中性子と励起状態混合の寄与

# OPE-side

$\beta = +1$  にとってOPEを計算する。

- NLOがゼロになり、計算精度がよくなる。
- $\eta_n$  と  $\gamma_5 \eta_n$  の混合を計算する必要がなくなる。

$$\begin{aligned} \Pi(q)^{(\text{OPE})} = & \frac{1}{16\pi^2} \langle \bar{q}q \rangle \log\left(\frac{-q^2}{\Lambda^2}\right) \{ \tilde{F} \cdot \sigma, \not{q} \} [(4e_d m_d \rho_d - e_u m_u \rho_u) \chi \bar{\theta} \\ & + (4d_d - d_u) + (\kappa - \frac{1}{2}\xi)(4e_d \tilde{d}_d - e_u \tilde{d}_u)] . \end{aligned}$$



# 和則の導出

$$\mathcal{B}[C^{(\text{phen})}(Q^2)] = \mathcal{B}[C^{(\text{OPE})}(Q^2)] \quad (Q^2 \equiv -q^2)$$

Borel 変換: 
$$\mathcal{B}[f(Q^2)] \equiv \lim_{\substack{Q^2, n \rightarrow \infty \\ Q^2/n = M^2}} \frac{(Q^2)^{n+1}}{n!} \left( \frac{-d}{dQ^2} \right)^n f(Q^2)$$

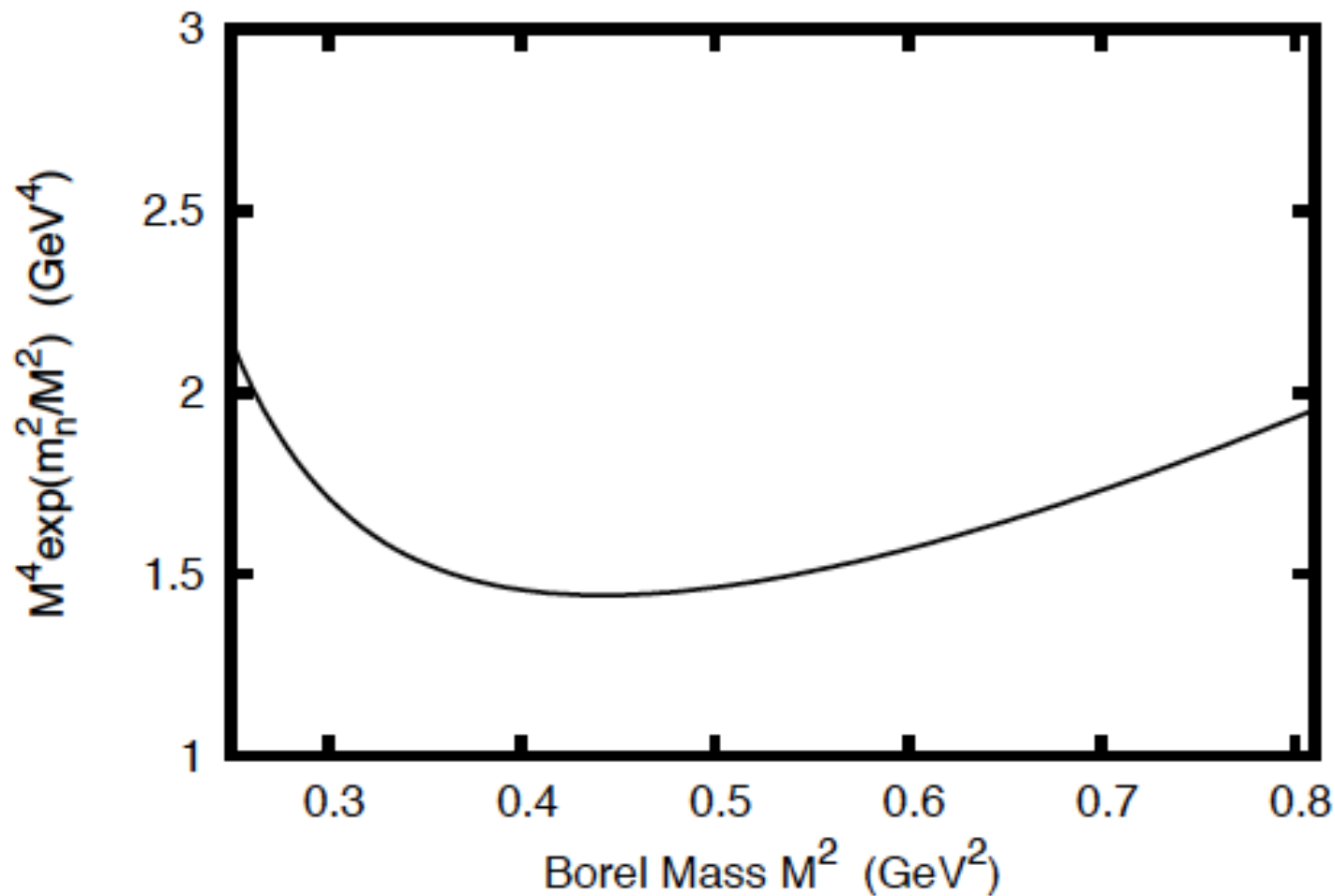
$$C^{(\text{phen})}(Q^2) \equiv \frac{1}{2} \left[ \frac{\lambda_n^2 d_n m_n}{(Q^2 + m_n^2)^2} - \frac{A}{Q^2 + m_n^2} \right]$$

$$C^{(\text{OPE})}(Q^2) \equiv \frac{1}{16\pi^2} \langle \bar{q}q \rangle \Theta \log \left( \frac{Q^2}{\Lambda^2} \right)$$

$$\Theta \equiv (4e_d m_d \rho_d - e_u m_u \rho_u) \chi \bar{\theta} + (4d_d - d_u) + (\kappa - \frac{1}{2}\xi)(4e_d \tilde{d}_d - e_u \tilde{d}_u)$$

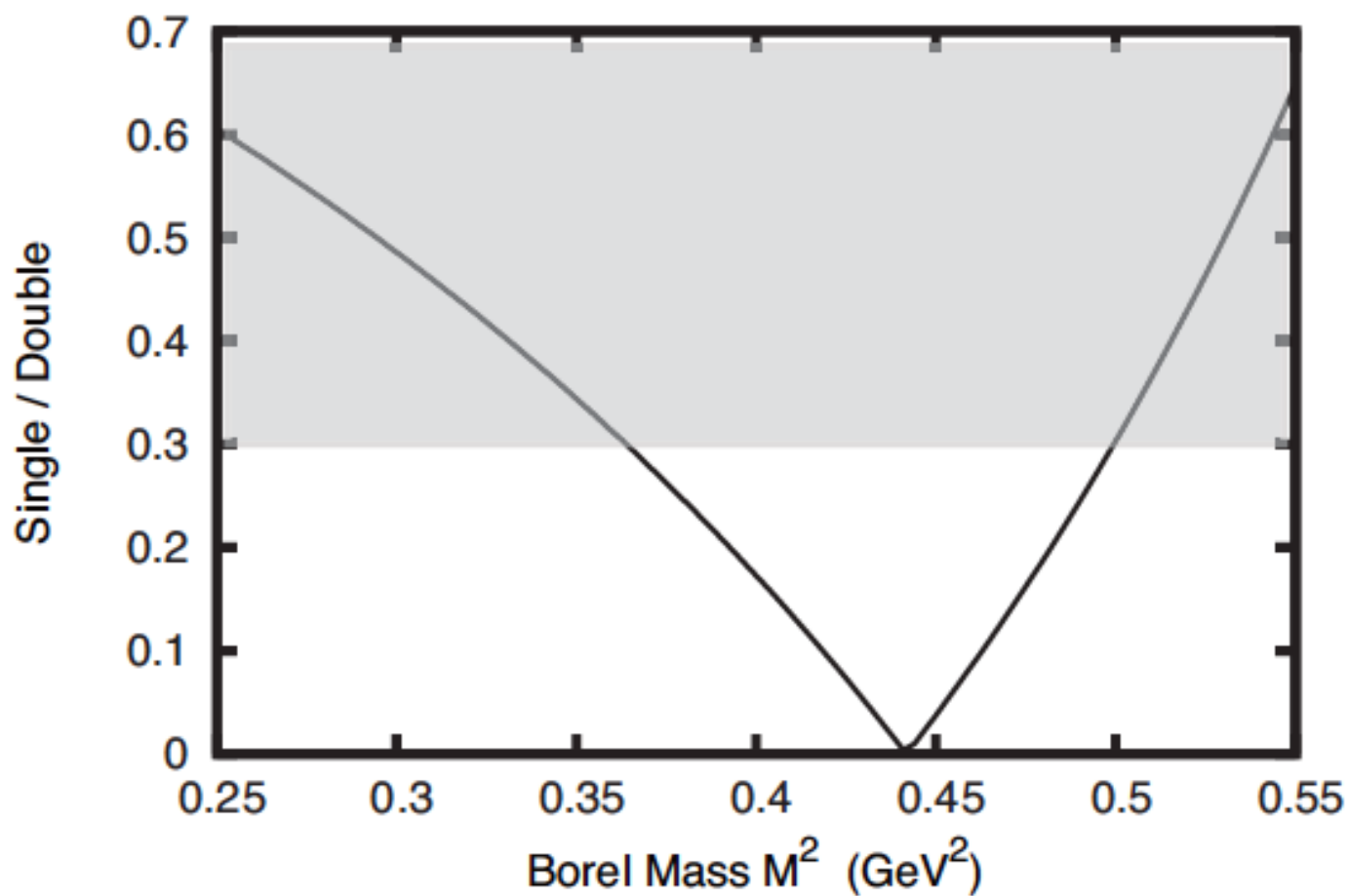
$$\text{和則: } \lambda_n^2 d_n m_n - AM^2 = -\Theta \langle \bar{q}q \rangle \frac{M^4}{8\pi^2} e^{\frac{m_n^2}{M^2}}$$

$$\lambda_n^2 d_n m_n - AM^2 = -\Theta \langle \bar{q}q \rangle \frac{M^4}{8\pi^2} e^{\frac{m_n^2}{M^2}}$$





$$\lambda_n^2 d_n m_n - AM^2 = -\Theta \langle \bar{q}q \rangle \frac{M^4}{8\pi^2} e^{\frac{m_n^2}{M^2}}$$



# 中性子EDMの導出

Low-energy constant:  $\lambda_n = -0.0480 \pm 0.0052_{(\text{stat})} \pm 0.0092_{(\text{syst})} \text{ GeV}^3$   
lattice QCD (RBC-UKQCD)

$$d_n = 1.2^{+0.6}_{-0.3} \pm 0.1^{+0.7}_{-0.4} \times 10^{-1} \Theta \quad (\text{JH, Nagata, Shimizu})$$

(系統誤差: 現象論サイド、OPEサイド、low-energy constantの順番)

中心値をとったとき

$$d_n = 4.2 \times 10^{-17} \bar{\theta} [e \text{ cm}] + 0.47d_d - 0.12d_u \\ + e(-0.18\tilde{d}_u + 0.18\tilde{d}_d - 0.008\tilde{d}_s)$$

$$d_n^{\text{PQ}} = 0.47d_d - 0.12d_u + e(0.35\tilde{d}_d + 0.17\tilde{d}_u)$$

# 中性子EDMの導出

Low-energy constant:  $\lambda_n = -0.0436 \pm 0.0047_{(\text{stat})} \pm 0.0084_{(\text{syst})} \text{ GeV}^3$   
lattice QCD (RBC-UKQCD)

$$d_n = 1.2^{+0.6}_{-0.3} \pm 0.1^{+0.7}_{-0.4} \times 10^{-1} \Theta$$

中性子運動項係数のQCD和則の結果 ( $\beta=1$ ) を使った場合  
(Pospelov&Ritz)

$$\lambda_n^2 = 1.05/(2\pi)^4 \text{ GeV}^6 \qquad d_n = 3.3 \times 10^{-1} \Theta.$$

より現実的な中性子質量のQCD和則の結果

$$\lambda_n \simeq 0.022 \text{ GeV}^3, \text{ (Leinweber)} \qquad d_n = 4.6 \times 10^{-1} \Theta$$

# 中性子EDMの評価

CPを破る次元6以下の有効相互作用

$$\begin{aligned}\mathcal{L}_{\text{CPV}} = & \theta \frac{\alpha_s}{8\pi} G_{\mu\nu}^A \tilde{G}^{A\mu\nu} \\ & - \frac{i}{2} \sum_{q=u,d,s} d_q \bar{q} (F \cdot \sigma) \gamma_5 q - \frac{i}{2} \sum_{q=u,d,s} \tilde{d}_q \bar{q} g_s (G \cdot \sigma) \gamma_5 q \\ & + \frac{1}{3} w f_{ABC} G_{\mu\nu}^A \tilde{G}^{B\nu\lambda} G_{\lambda}^{C\mu}.\end{aligned}$$

1. TeVスケールの新粒子を積分することでWilson係数の導出
2. Wilson係数に対するQCD補正の評価
3. ハドロンスケールでのWilson係数から中性子EDMの評価
  - Naïve dimensional analysis
  - Chiral lagrangian
  - QCD 和則
  - Lattice QCD

# Wilson係数のくりこみ群の方程式

CPを破る次元6以下の有効相互作用

$$\begin{aligned} \mathcal{L}_{\text{CPV}} = & \sum_{i=1,2,4,5} \sum_q C_i^q(\mu) \mathcal{O}_i^q(\mu) + C_3(\mu) \mathcal{O}_3(\mu) \\ & + \sum_{i=1,2} \sum_{q' \neq q} \tilde{C}_i^{q'q}(\mu) \tilde{\mathcal{O}}_i^{q'q}(\mu) + \frac{1}{2} \sum_{i=3,4} \sum_{q' \neq q} \tilde{C}_i^{q'q}(\mu) \tilde{\mathcal{O}}_i^{q'q}(\mu). \end{aligned}$$

$$\mathcal{O}_1^q = -\frac{i}{2} m_q \bar{q} e Q_q (F \cdot \sigma) \gamma_5 q,$$

$$\mathcal{O}_4^q = \bar{q}_\alpha q_\alpha \bar{q}_\beta i \gamma_5 q_\beta,$$

$$\mathcal{O}_2^q = -\frac{i}{2} m_q \bar{q} g_s (G \cdot \sigma) \gamma_5 q,$$

$$\mathcal{O}_5^q = \bar{q}_\alpha \sigma^{\mu\nu} q_\alpha \bar{q}_\beta i \sigma_{\mu\nu} \gamma_5 q_\beta,$$

$$\mathcal{O}_3 = -\frac{1}{6} g_s f^{ABC} \epsilon^{\mu\nu\rho\sigma} G_{\mu\lambda}^A G_{\nu}^{B\lambda} G_{\rho\sigma}^C$$

$$\tilde{\mathcal{O}}_1^{q'q} = \bar{q}'_\alpha q'_\alpha \bar{q}_\beta i \gamma_5 q_\beta,$$

$$\tilde{\mathcal{O}}_2^{q'q} = \bar{q}'_\alpha q'_\beta \bar{q}_\beta i \gamma_5 q_\alpha,$$

$$\tilde{\mathcal{O}}_3^{q'q} = \bar{q}'_\alpha \sigma^{\mu\nu} q'_\alpha \bar{q}_\beta i \sigma_{\mu\nu} \gamma_5 q_\beta,$$

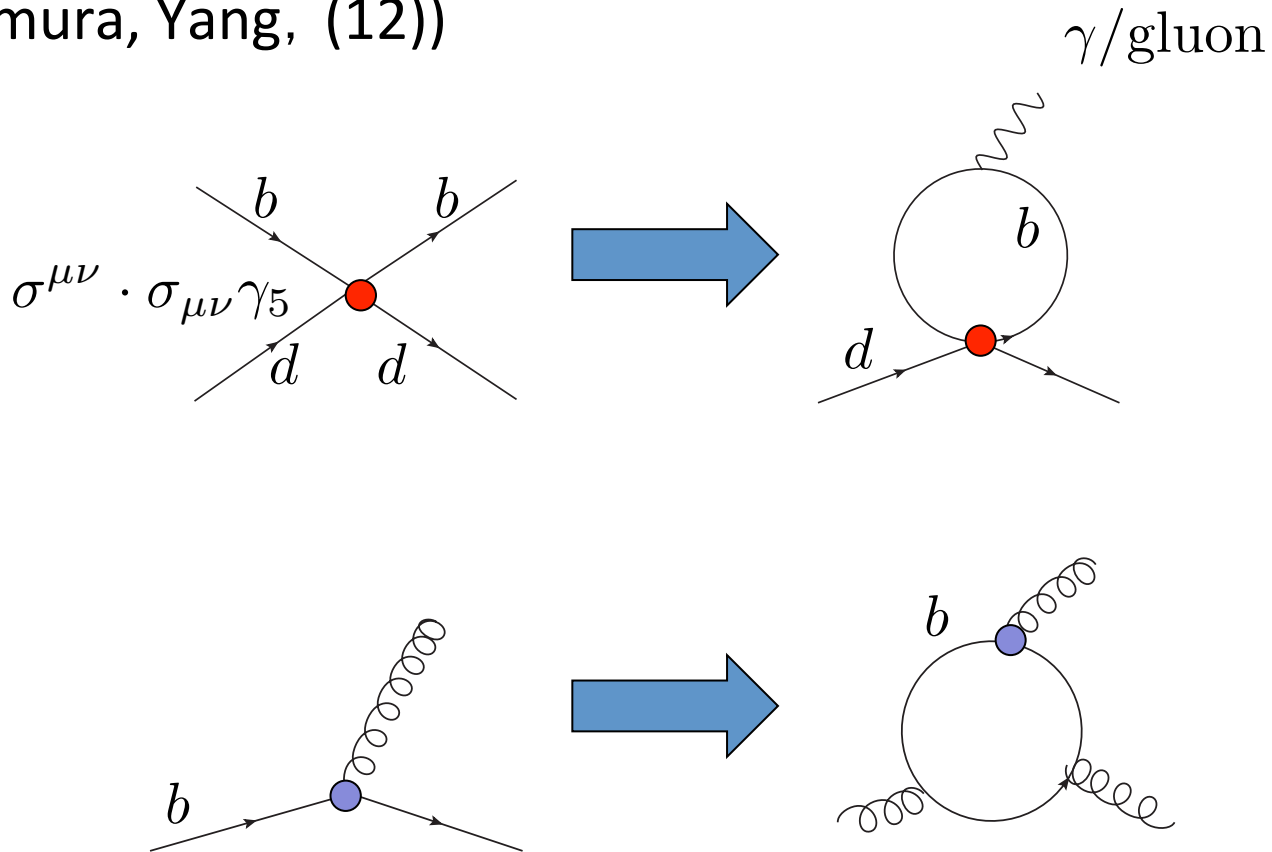
$$\tilde{\mathcal{O}}_4^{q'q} = \bar{q}'_\alpha \sigma^{\mu\nu} q'_\beta \bar{q}_\beta i \sigma_{\mu\nu} \gamma_5 q_\alpha^{13}$$

四体フェルミの相互作用も含めた。

# CPを破る重いクォークの相互作用

重いクォークを積分することで、軽いクォークのEDM/CEDMおよびWeinberg operator に補正が生じる。次元6までのくりこみ群の方程式および接続条件により評価を行った。

(JH, Tsumura, Yang, (12))



# Higgs bosonによるEDM

$$\mathcal{L}_\phi = 2^{1/4} G_F^{1/2} m_q \bar{q}_\alpha (f_S^q + i f_P^q \gamma_5) q_\alpha \phi,$$

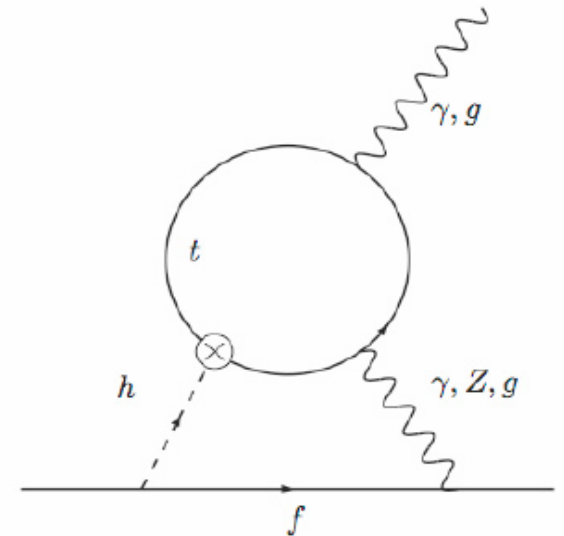
スカラータイプの4クォーク演算子から、軽いクォークのCEDMは2ループにより、EDMは2また3ループのダイアグラムにより生じる。

$O(\alpha_s)$ の2ループレベルで

$$C_2^q = \frac{\alpha_s}{8\pi^3} \frac{m_{q'}}{m_q} \left( \ln \frac{m_\phi}{m_{q'}} \right)^2 \left[ \tilde{C}_1^{q'q} + \tilde{C}_1^{qq'} \right].$$

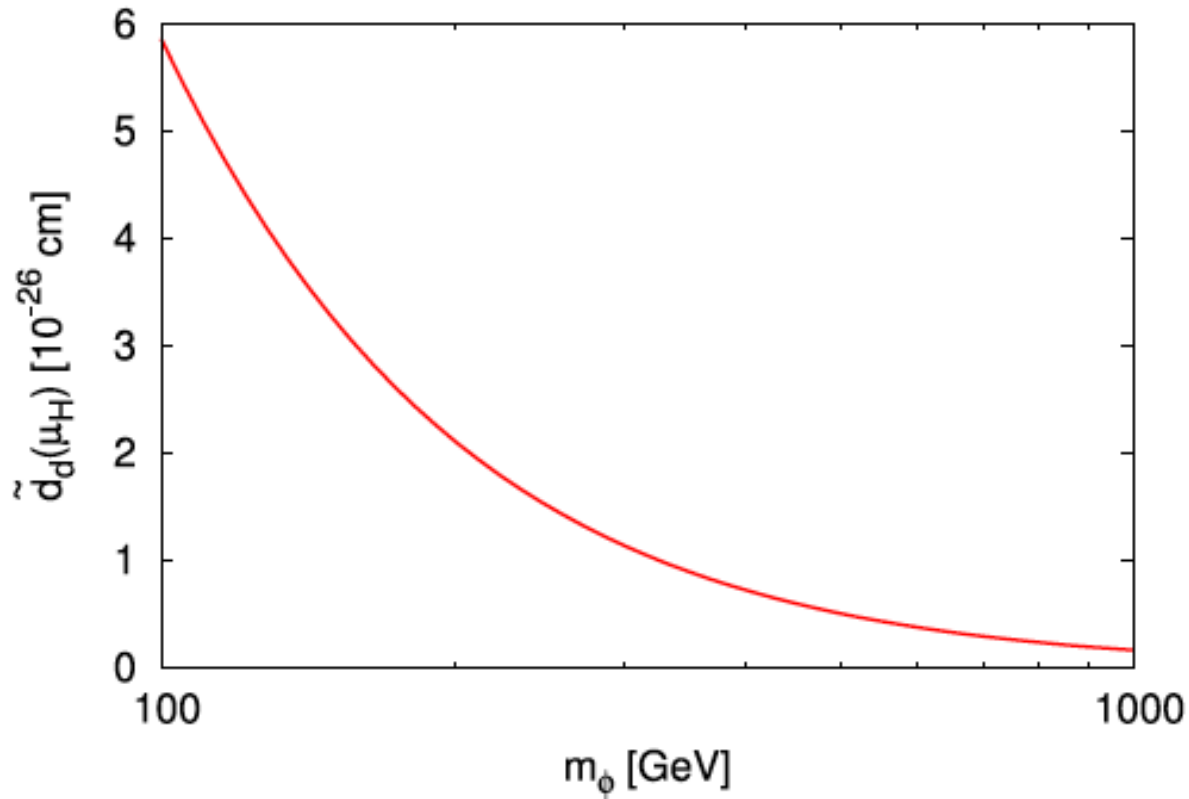
$$C_1^q = 0$$

Barr-Zee diagrams



# Higgs bosonによるEDM

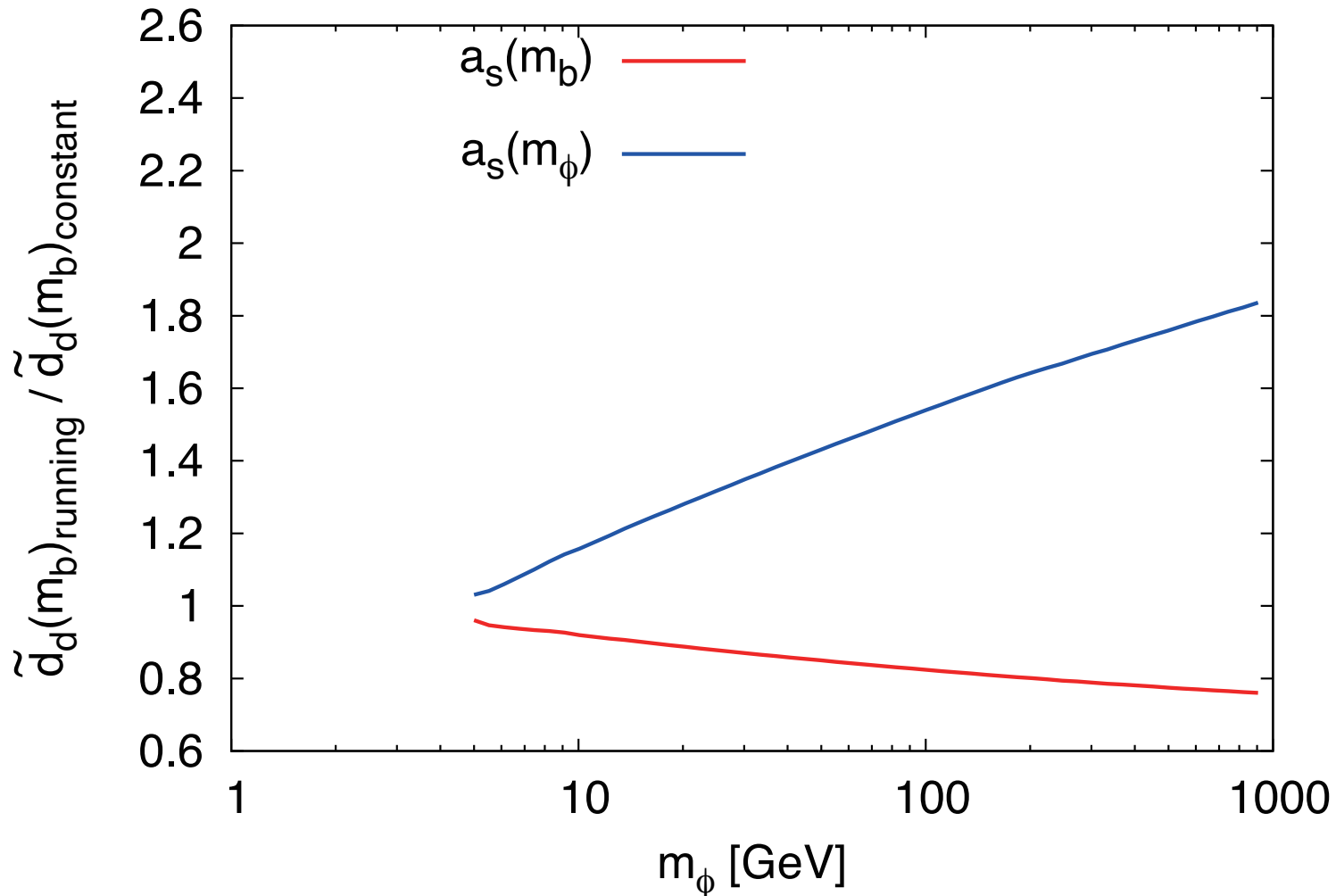
$$f_S^d = f_P^d = 1 \quad f_S^b = f_P^b = 1.$$





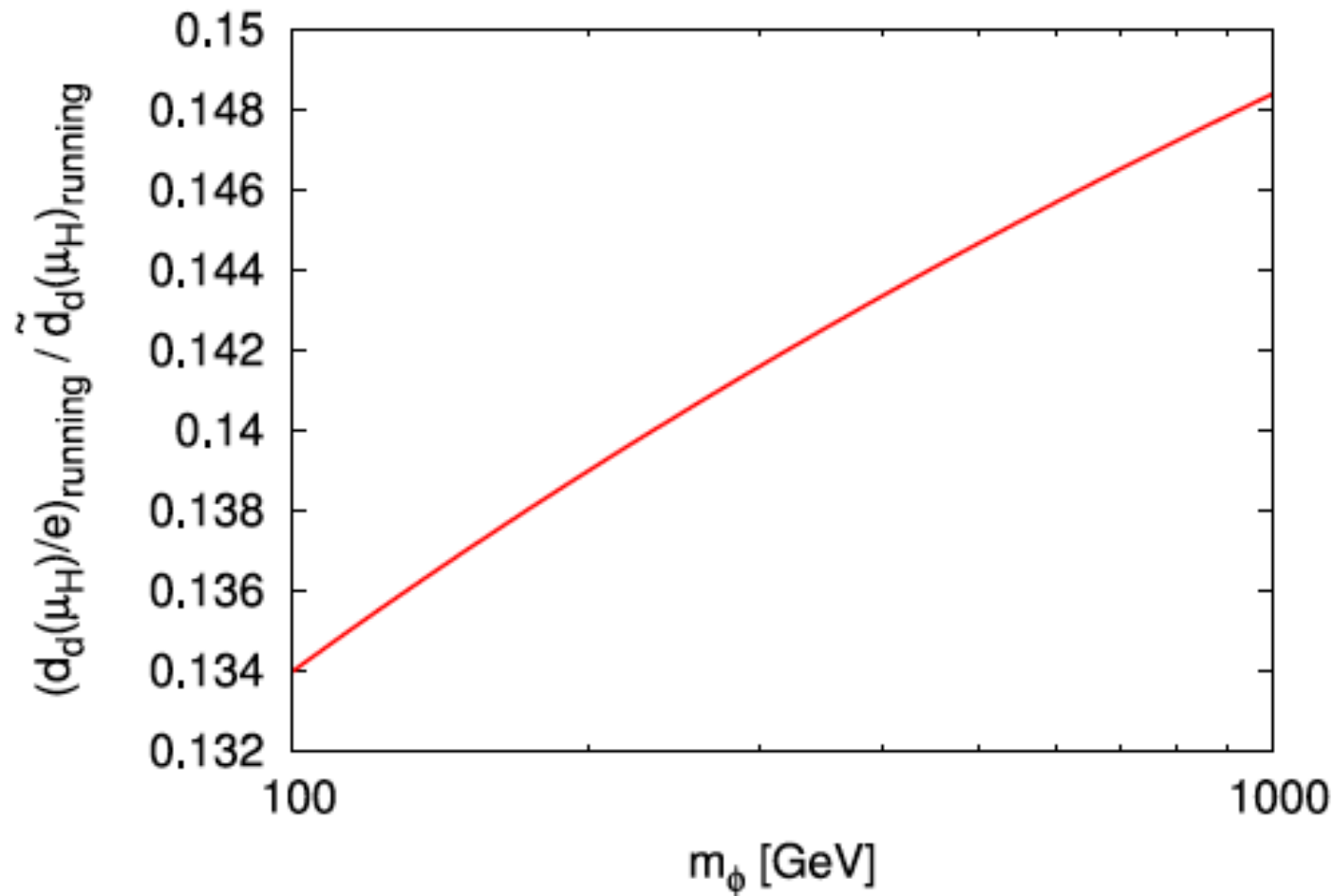
# Higgs bosonによるEDM

$$f_S^d = f_P^d = 1 \quad f_S^b = f_P^b = 1.$$



# Higgs bosonによるEDM

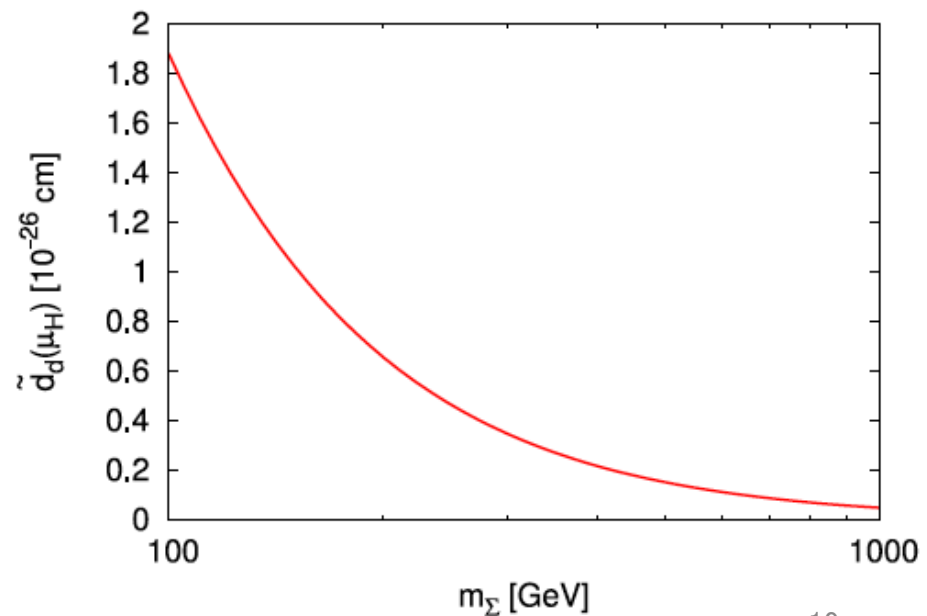
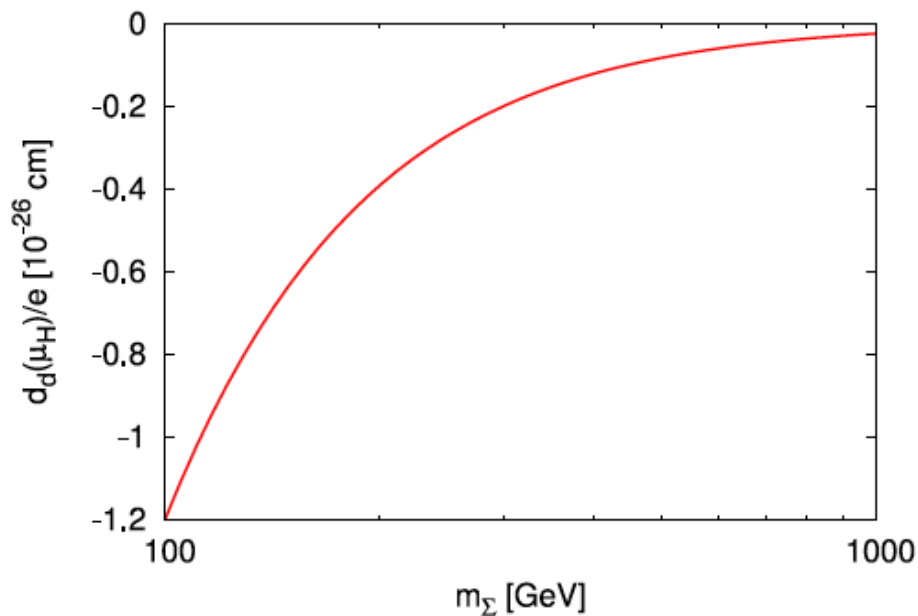
$$f_S^d = f_P^d = 1 \quad f_S^b = f_P^b = 1.$$



# Color octet bosonによるEDM

$$\mathcal{L}_\Sigma = 2^{1/4} G_F^{1/2} m_q \bar{q}_\alpha (f_S^q + i f_P^q \gamma_5) q_\beta \Sigma_{\alpha\beta}$$

$$f_S^d = f_P^d = 1 \quad f_S^b = f_P^b = 1.$$



# 中性子EDMの評価

CPを破る次元6以下の有効相互作用

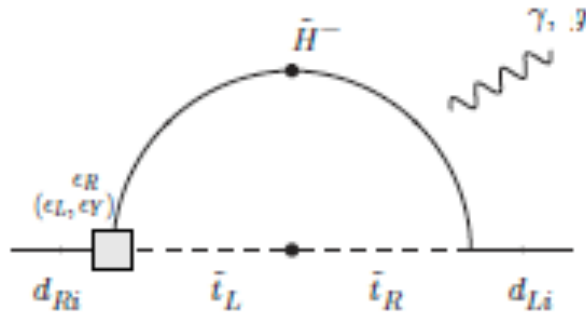
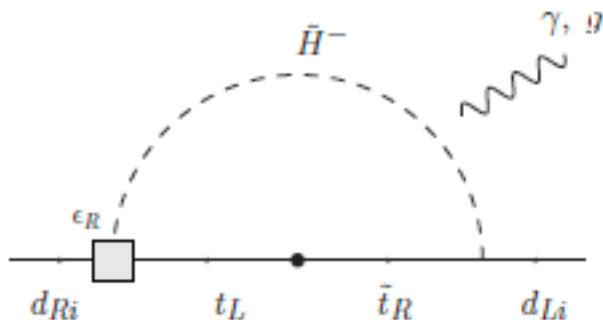
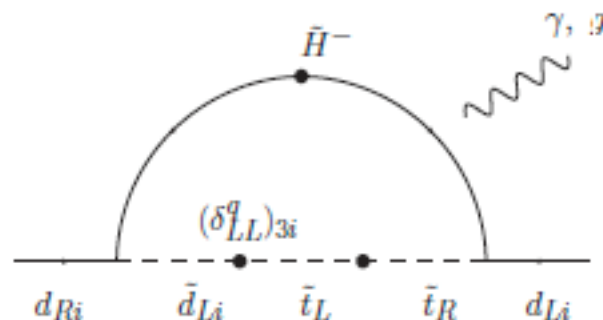
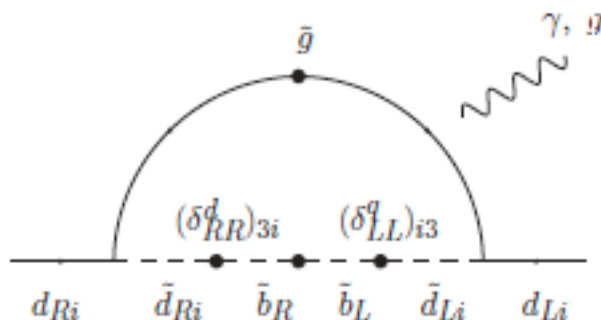
$$\begin{aligned}\mathcal{L}_{\text{CPV}} = & \theta \frac{\alpha_s}{8\pi} G_{\mu\nu}^A \tilde{G}^{A\mu\nu} \\ & - \frac{i}{2} \sum_{q=u,d,s} d_q \bar{q} (F \cdot \sigma) \gamma_5 q - \frac{i}{2} \sum_{q=u,d,s} \tilde{d}_q \bar{q} g_s (G \cdot \sigma) \gamma_5 q \\ & + \frac{1}{3} w f_{ABC} G_{\mu\nu}^A \tilde{G}^{B\nu\lambda} G_{\lambda}^{C\mu}.\end{aligned}$$

1. TeVスケールの新粒子を積分することでWilson係数の導出
2. Wilson係数に対するQCD補正の評価
3. ハドロンスケールでのWilson係数から中性子EDMの評価
  - Naïve dimensional analysis
  - Chiral lagrangian
  - QCD 和則
  - Lattice QCD

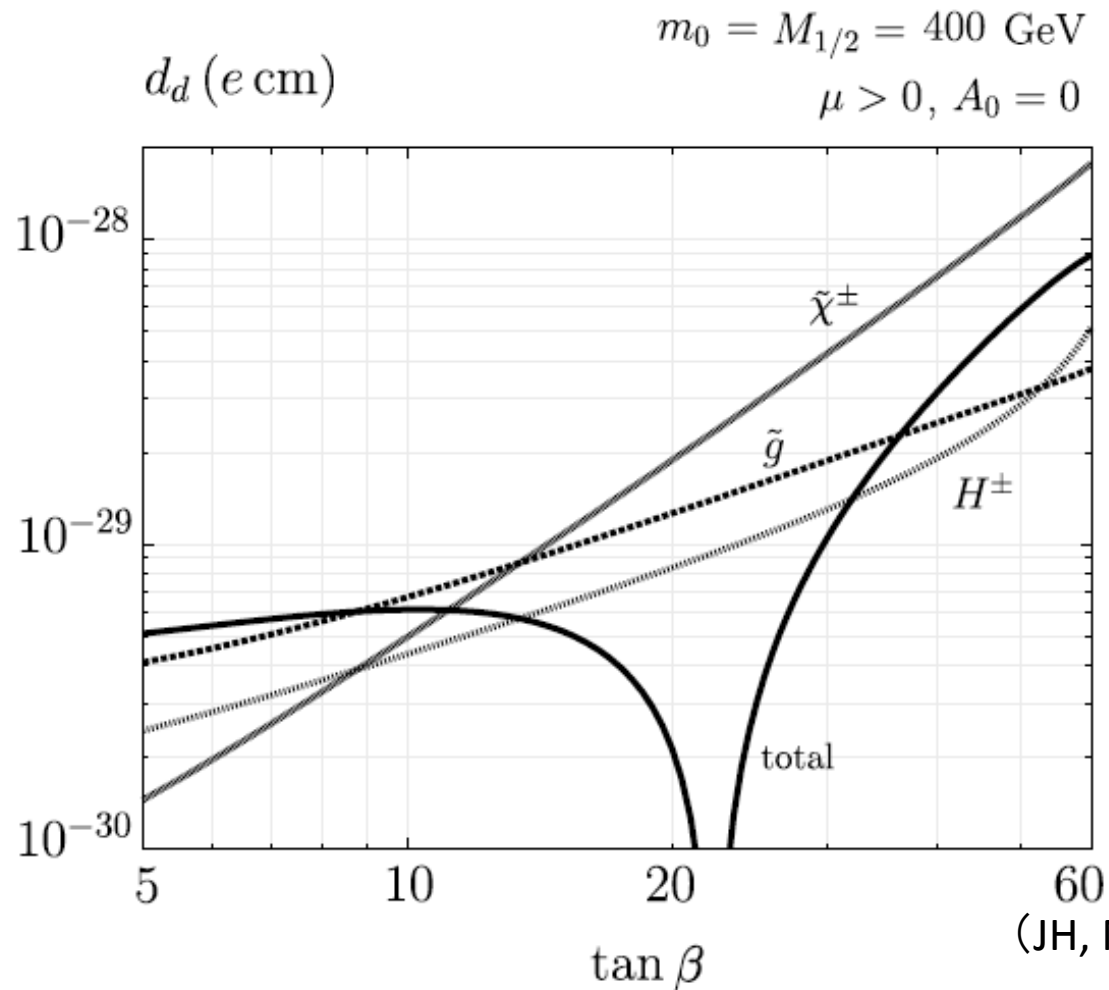
# 超対称模型における フレーバーの破れ起源のEDM

2種類のフレーバー混合があると大きなEDMが期待できる。

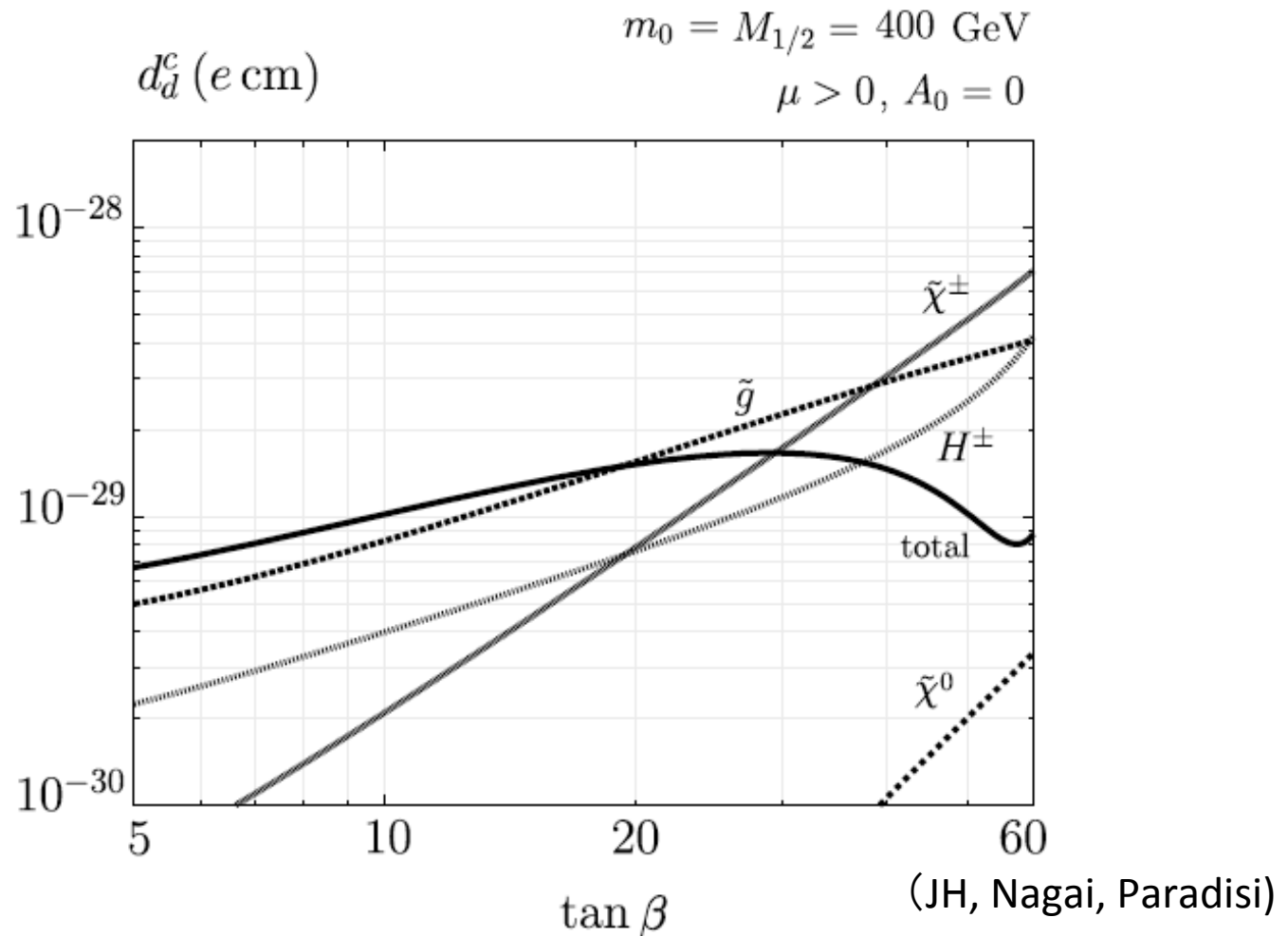
$$(\delta_{LL}^q)_{ij} \equiv \frac{(m_{\bar{q}}^2)_{ij}}{m_{\bar{q}}^2}, \quad (\delta_{RR}^d)_{ij} \equiv \frac{(m_{\bar{d}}^2)_{ij}}{m_{\bar{d}}^2}, \quad (\delta_{RR}^u)_{ij} \equiv \frac{(m_{\bar{u}}^2)_{ij}}{m_{\bar{u}}^2},$$



# 右巻きニュートリノをもつ 超対称大統一モデル



# 右巻きニュートリノをもつ 超対称大統一模型



# 中性子EDMの評価

- 1, TeVスケールの新粒子を積分することでWilson係数の導出  
超対称模型におけるフレーバーの破れ起源のEDM
- 2, Wilson係数に対するQCD補正の評価  
次元6までの演算子すべてをいれて導出。4体フェルミの効果  
評価
- 3, ハドロンスケールでのWilson係数から中性子EDMの評価  
QCD 和則による導出